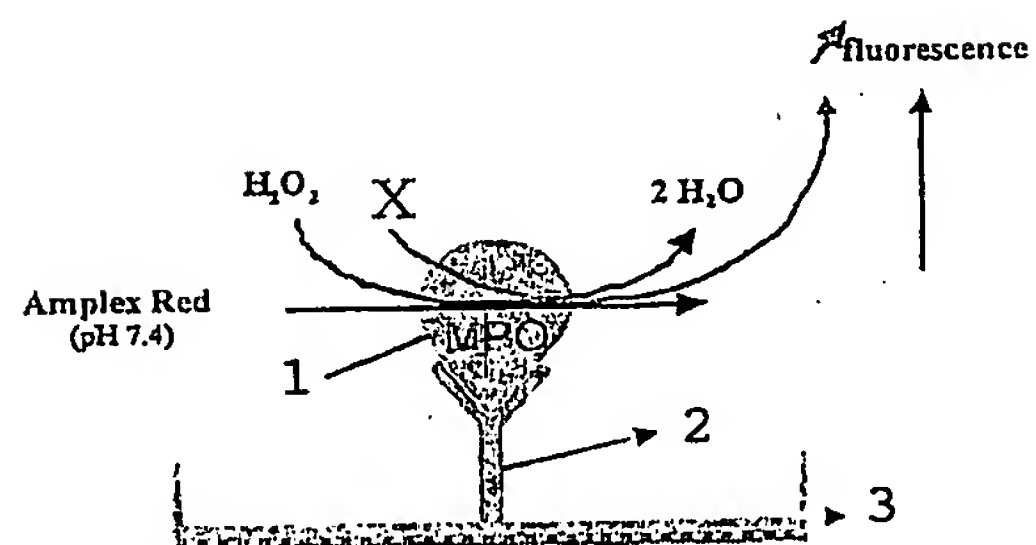
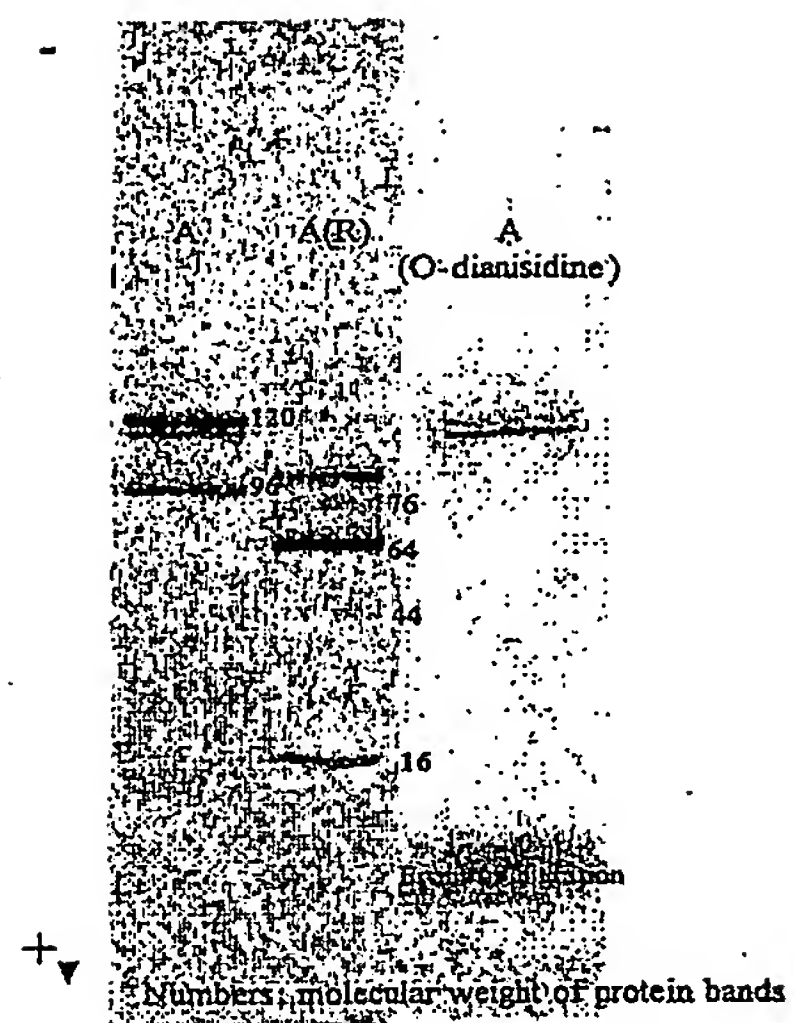
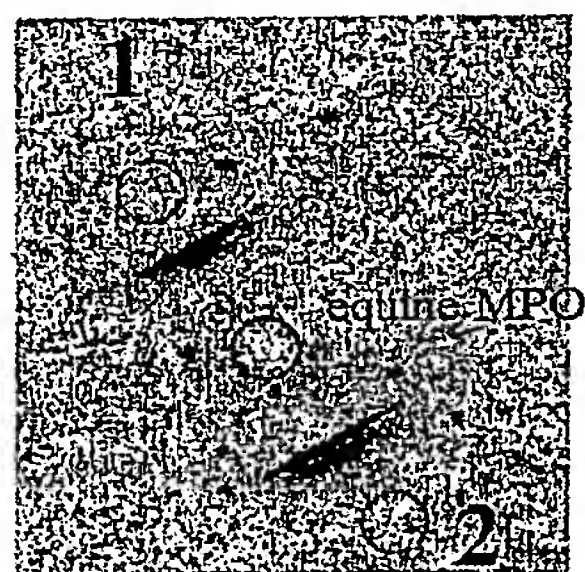
Fig. 1

X: fluorescence
enhancer

Fig. 2

Fig. 3Fig. 4

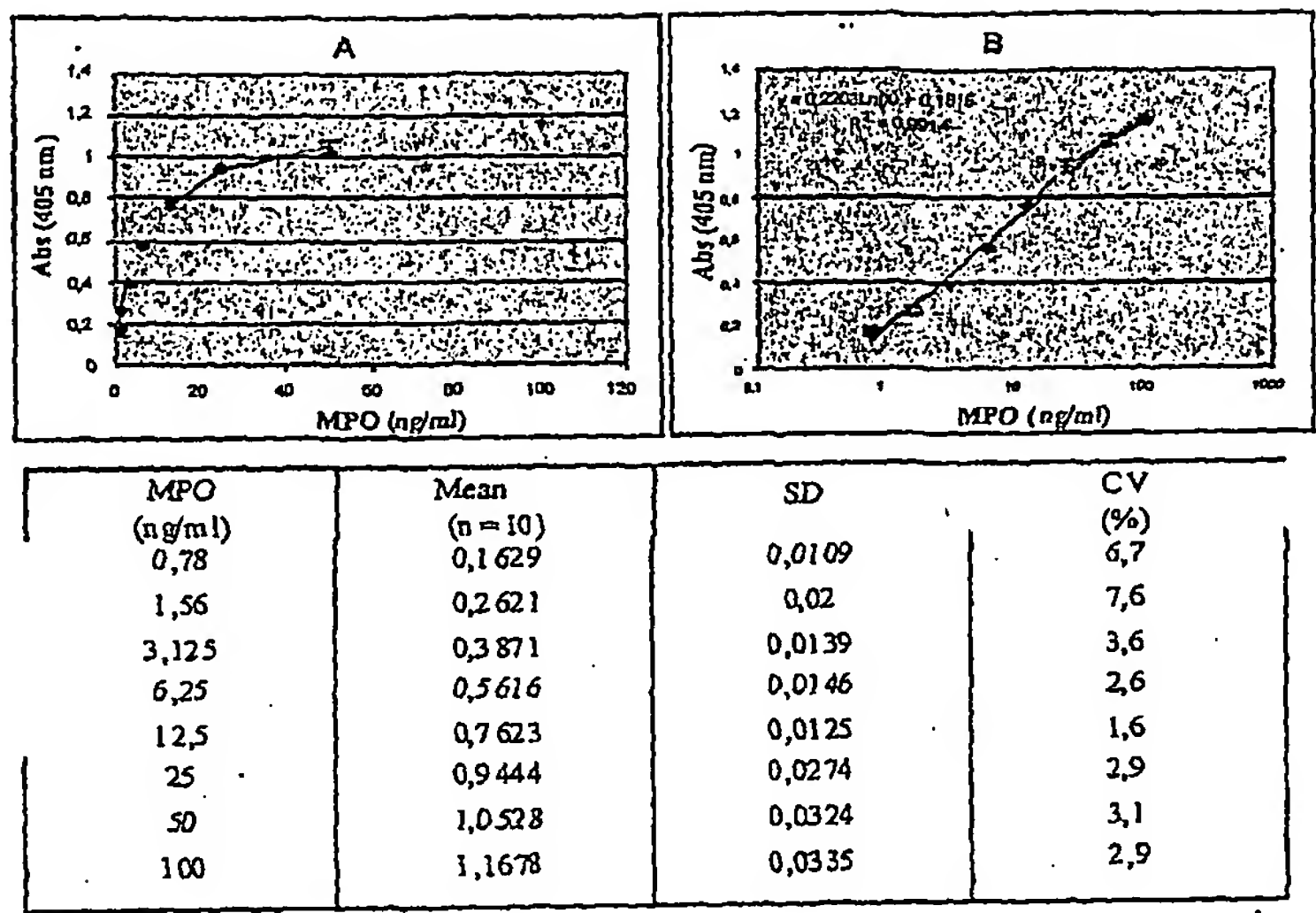


Fig. 5

MPO ng/ml	Mean n= 10	SD	CV %
0,78	0,0 58	0,01	17,24
1,56	0,1 14	0,002	7,89
3,125	0,2 63	0,008	3,04
6,25	0,4 19	0,003	5,50
12,5	0,7 02	0,032	4,56
25	0,9 76	0,019	1,93
50	1,2 64	0,064	5,06

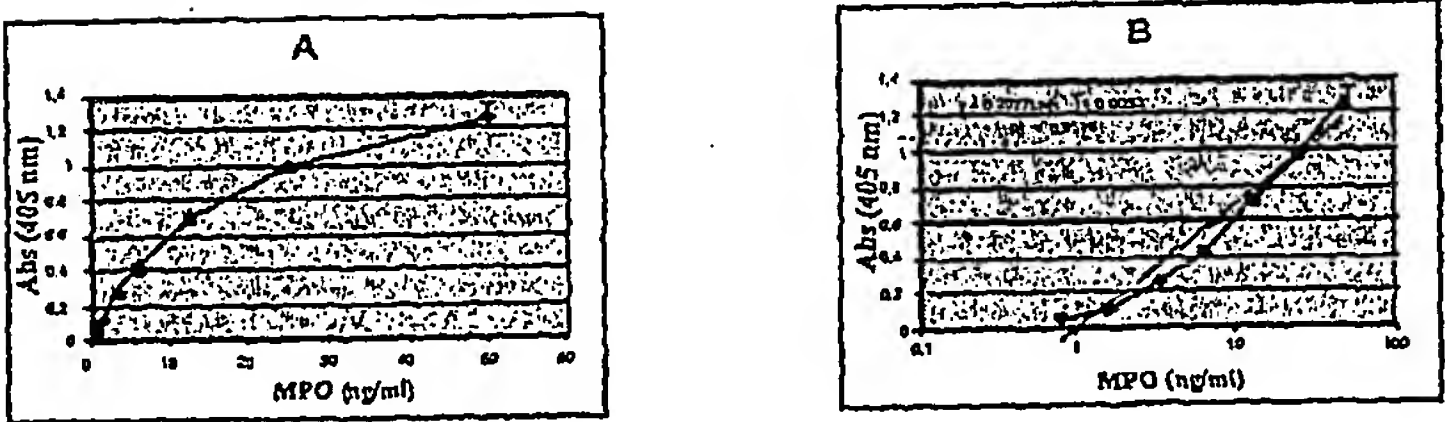


Fig. 6

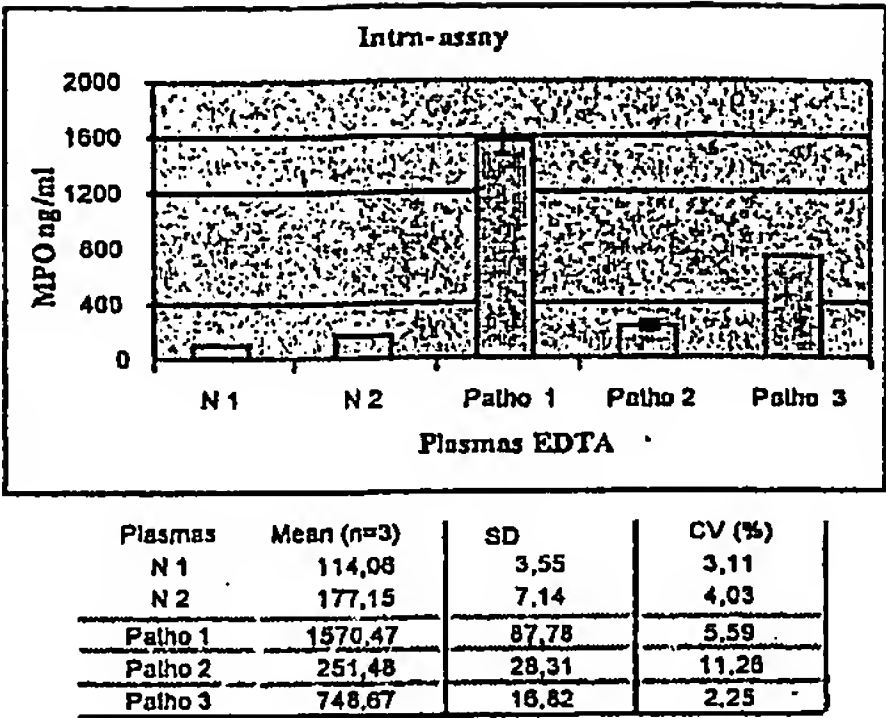


Fig. 7

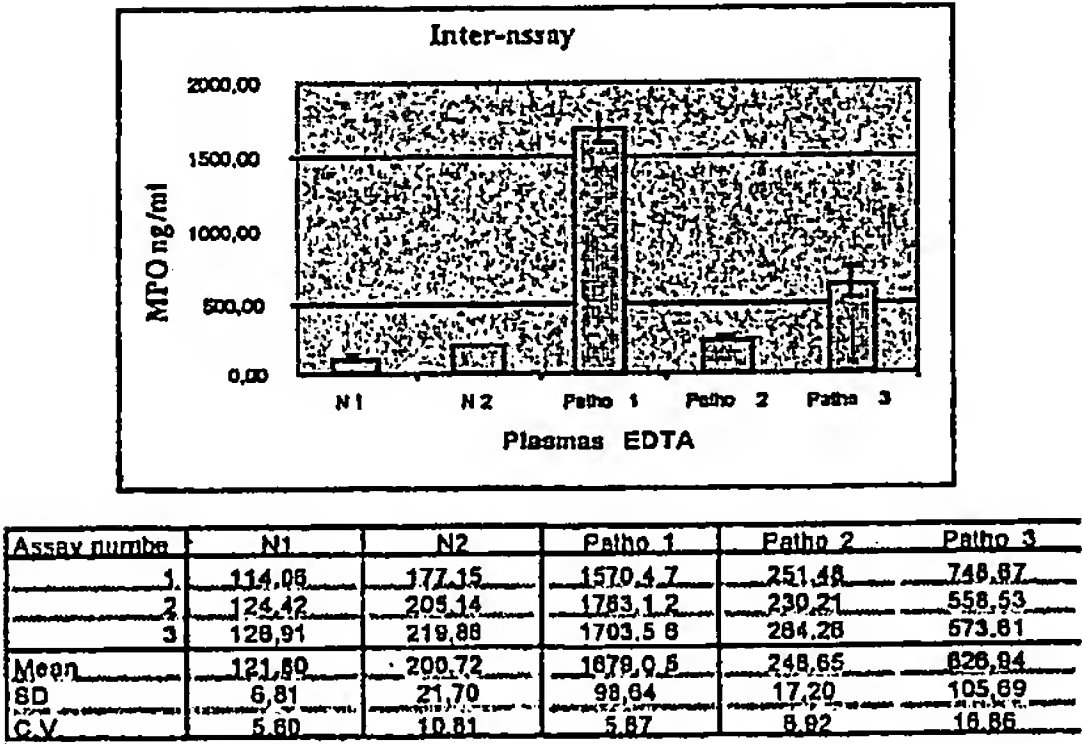
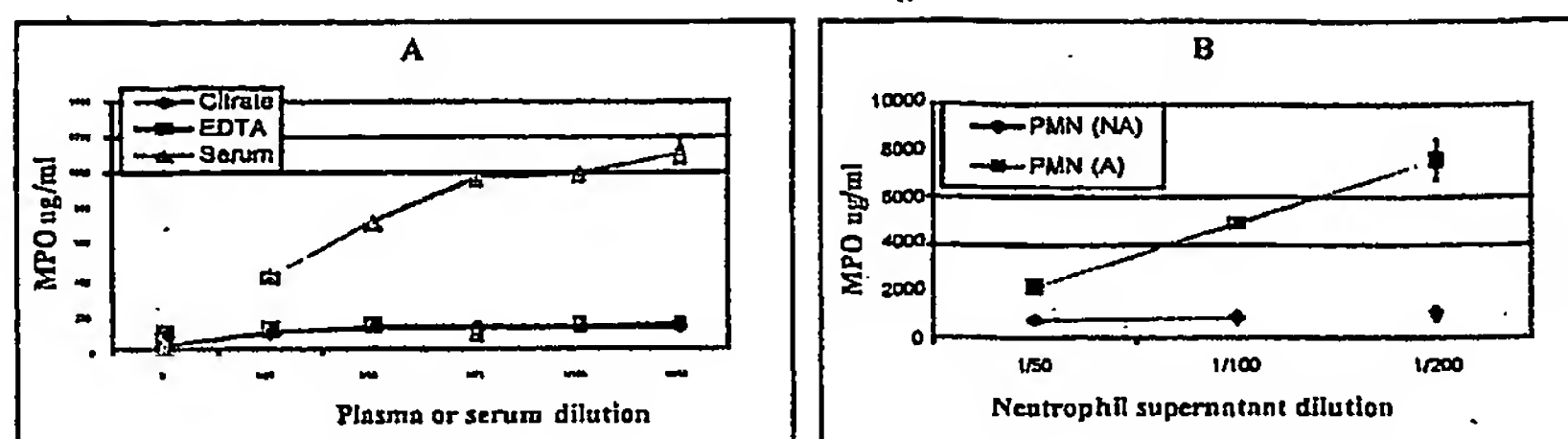
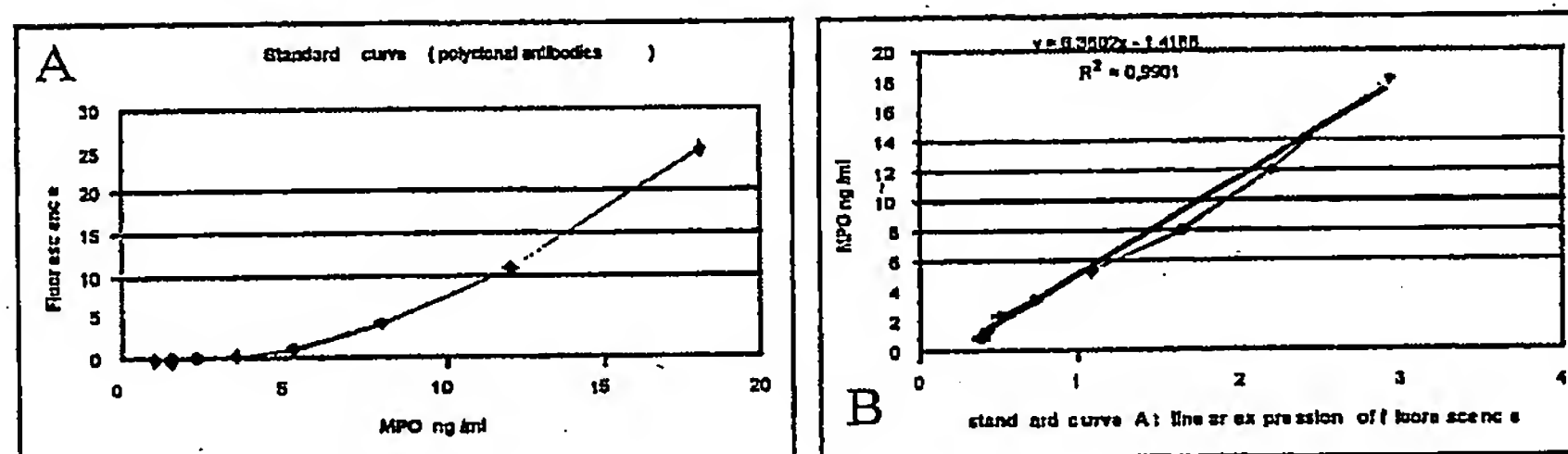


Fig. 8

Fig. 9

MPO (ng/ml)	Mean	SD (n=3)	CV (%)
18,00	24,825	0,4850	1,95
12,00	10,585	0,2801	2,65
8,00	4,428	0,4323	9,76
5,30	1,250	0,0683	5,46
3,55	0,382	0,0213	5,43
2,37	0,144	0,0026	1,78
1,58	0,095	0,0041	4,34
1,05	0,060	0,0030	4,89

Fig. 10

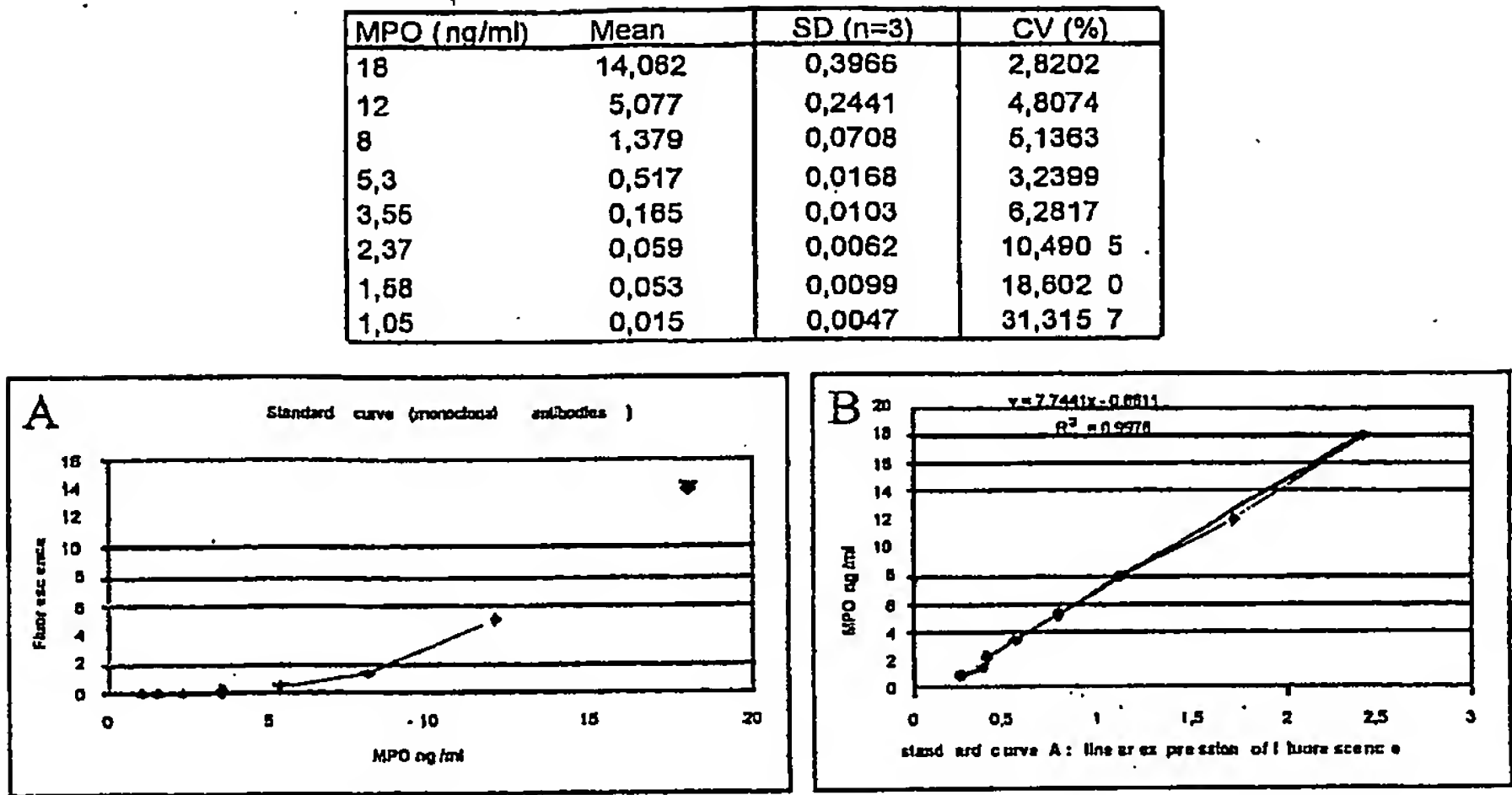


Fig. 11

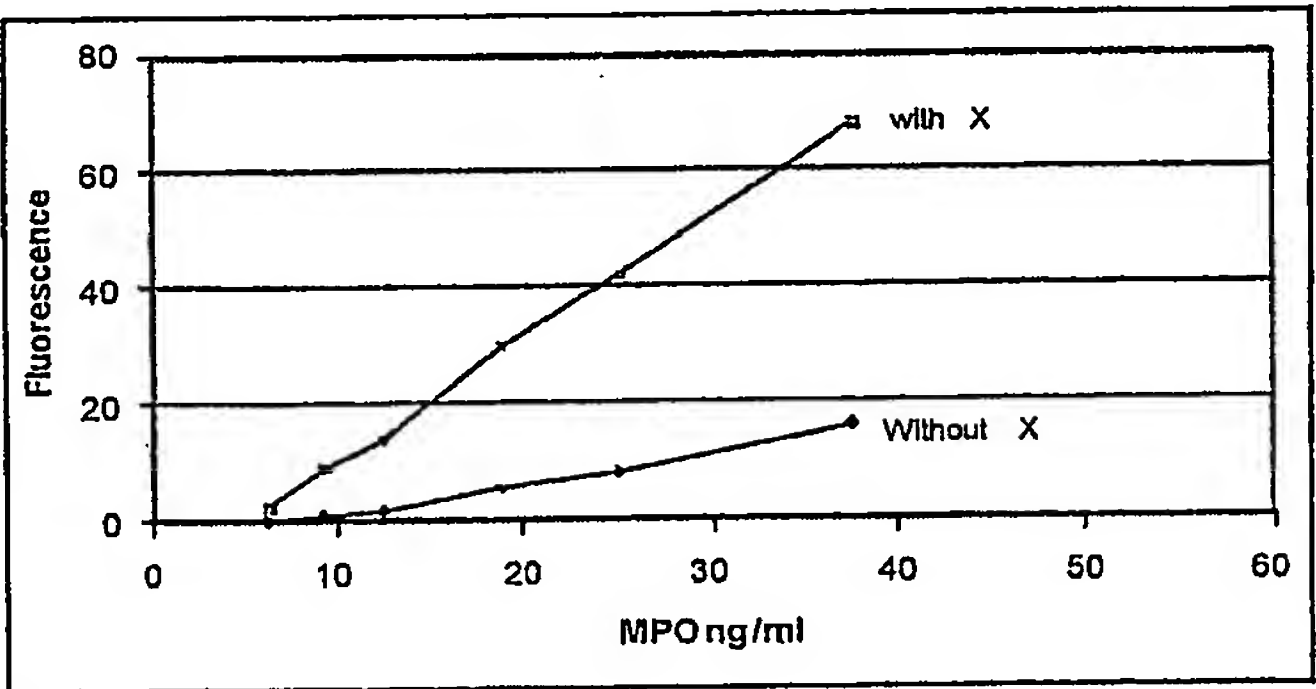
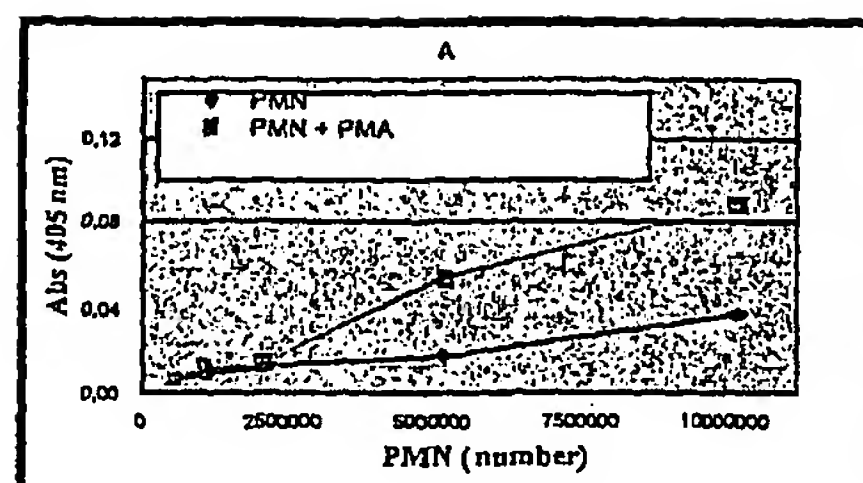
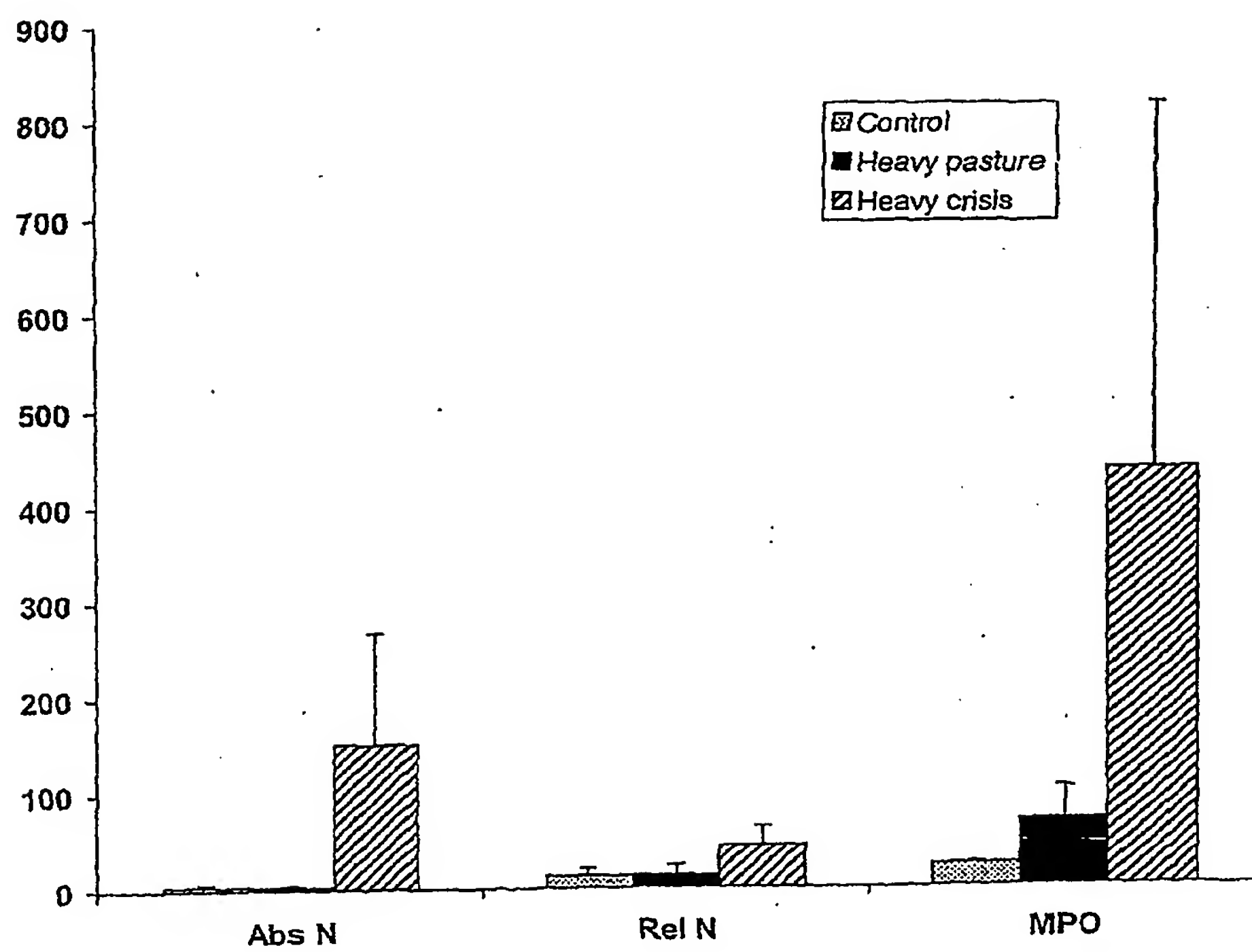


Fig. 12

Fig. 13

	Active MPO concentration (ng/ml)		
	Mean	SD	CV (%)
Undiluted samples			
Plasma N			
n=3	1,203	0,063	5,90
n=4	1,584	0,054	3,45
n=4	1,555	0,076	4,89
n=3	1,585	0,019	1,20
n=3	2,193	0,081	3,69
Plasma P			
n=3	3,073	0,355	11,55
n=3	1,442	0,042	2,91
n=2	17,782	1,508	8,48
Serial dil - q. N			
n=3	5,275	0,18	3,60
n=3	2,483	0,224	9,02
n=3	1,682	0,023	1,48
Serial dil - q. P			
n=3	8,596	0,633	9,62
n=3	1,397	0,062	4,44
n=3	1,5	0,016	1,00

Fig. 14

Fig. 15

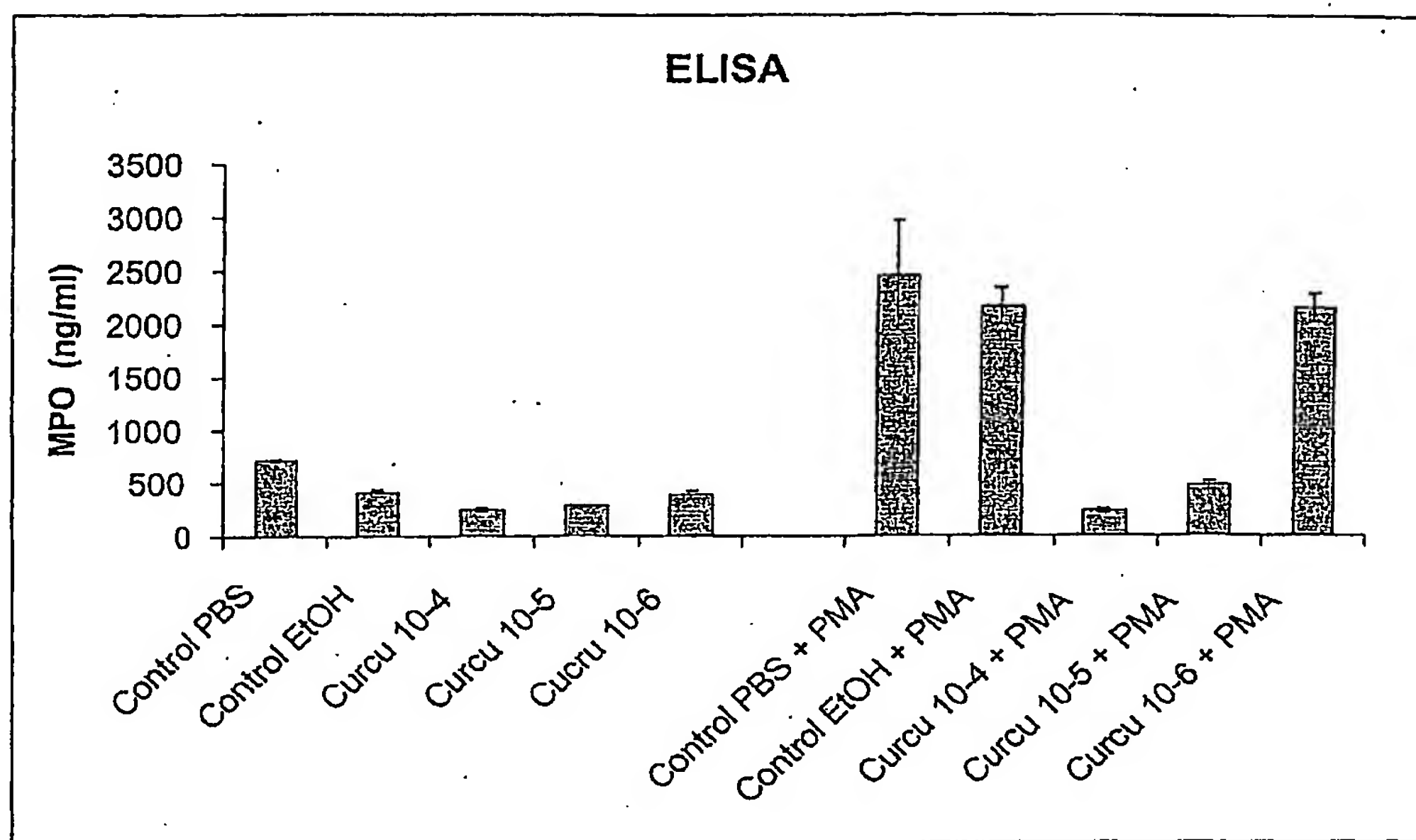
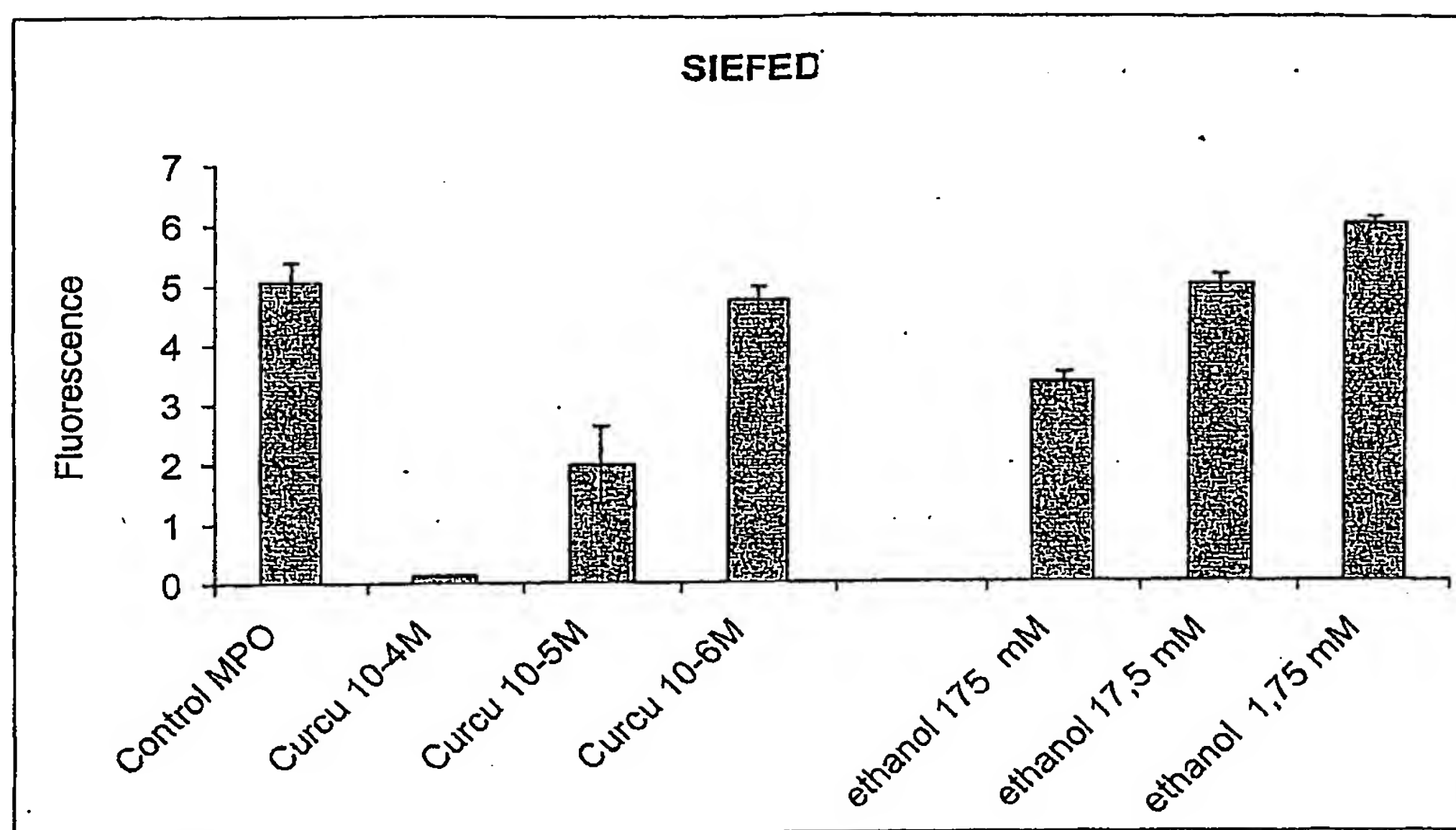


Fig. 16

10/10
10/10Fig. 17